

**特点**

- 非绝缘，底板为公共电极
- 国际标准封装：全压接结构，优良的温度特性和功率循环能力
- 低正向压降

**典型应用**

- 电焊机电源
- 各种DC电源
- 变频器

|             |   |
|-------------|---|
| $I_{F(AV)}$ | 200A  |
| $V_{RRM}$   | 500-2500V                                   |
| $I_{FSM}$   | $8.0 \text{ A} \times 10^3$                 |
| $I^2t$      | $326.4 \text{ } 10^3 \text{ a}^2 \text{ s}$ |

| 符号            | 参数        | 测试条件   | 结温<br>$T_J(^{\circ}\text{C})$ | 参数值 |    |       | 单位                               |
|---------------|-----------|--|-------------------------------|-----|----|-------|----------------------------------|
|               |           |  |                               | 最小  | 典型 | 最大    |                                  |
| $I_{F(AV)}$   | 正向平均电流    | 180° 正弦半波, 50HZ<br>单面散热, $T_C=100^{\circ}\text{C}$                         | 150                           |     |    | 200   | A                                |
| $I_{T(RMS)}$  | 方均根电流     |  | 150                           |     |    | 314   | A                                |
| $V_{RRM}$     | 反向重复峰值电压  | $V_{RRM} \text{ tp}=10\text{ms}$<br>$V_{RSM}=V_{DRM}\&V_{RRM}+200\text{V}$ | 150                           | 500 |    | 2500  | V                                |
| $I_{RRM}$     | 反向重复峰值电流  | at $V_{DRM}$<br>at $V_{RRM}$   | 150                           |     |    | 20    | mA                               |
| $I_{FSM}$     | 通态不重复浪涌电流 | 10ms 底宽, 正弦半波<br>$V_R=0.6V_{RRM}$  | 150                           |     |    | 8.0   | KA                               |
| $I^2t$        | 浪涌电流平方时间积 |  |                               |     |    | 326.4 | $\text{A}^2\text{S} \times 10^3$ |
| $V_{FO}$      | 门槛电压      |  | 150                           |     |    | 0.80  | V                                |
| $r_T$         | 斜率电阻      |  |                               |     |    | 0.96  | $\text{m}\Omega$                 |
| $V_{FM}$      | 正向峰值电压    | $I_{TM}=628\text{A}$   | 25                            |     |    | 1.15  | V                                |
| $R_{th(j-c)}$ | 热阻抗 (结至壳) | 单面散热   |                               |     |    | 0.200 | $^{\circ}\text{C}/\text{W}$      |
| $R_{th(c-h)}$ | 热阻抗 (壳至散) | 单面散热   |                               |     |    | 0.1   | $^{\circ}\text{C}/\text{W}$      |
| $F_M$         | 安装扭矩 (M5) |  |                               |     |    | 6     | N-m                              |
|               | 安装扭矩 (M6) |  |                               |     |    | 6     | N-m                              |
| $T_{stq}$     | 储存温度      |  |                               | -40 |    | 125   | $^{\circ}\text{C}$               |
| $W_t$         | 质量        |  |                               |     |    |       | g                                |
| Outline       | 外形        |  |                               |     |    |       |                                  |

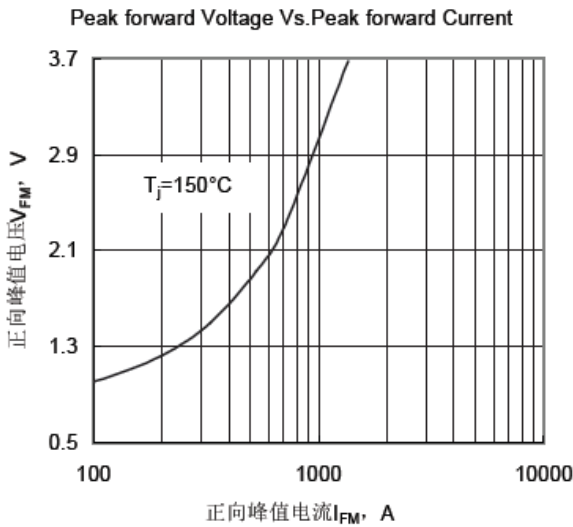


Fig.1 通态伏安特性曲线

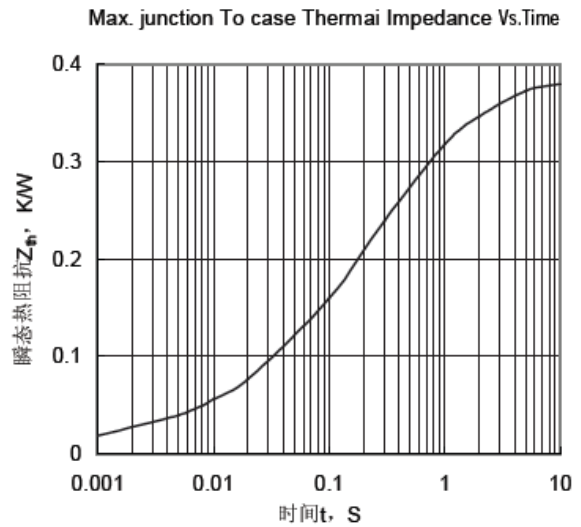


Fig.2 瞬态热阻抗曲线

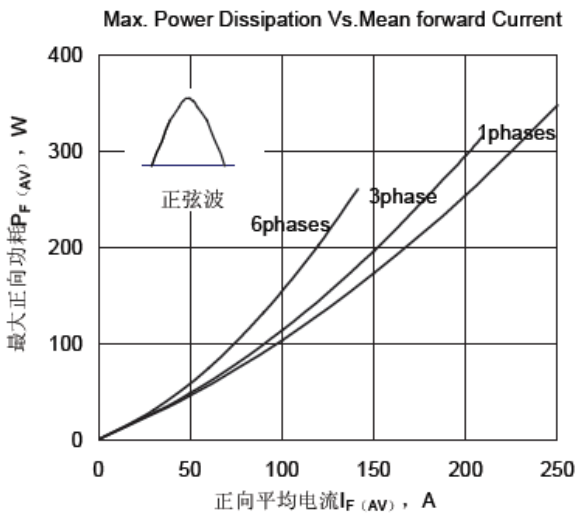


Fig.3 最大功耗与平均电流关系曲线

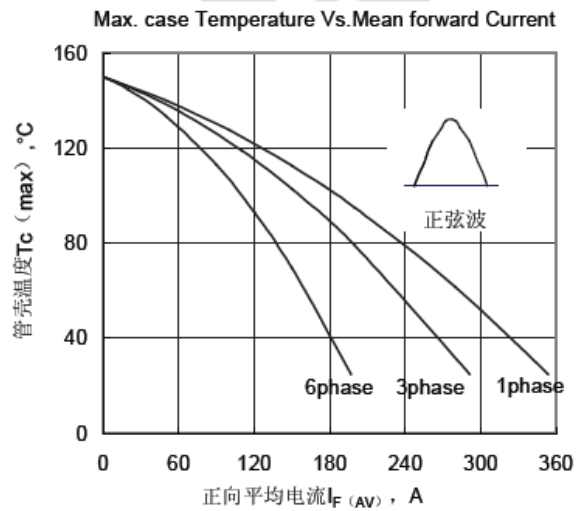


Fig.4 管壳温度与正向平均电流关系曲线

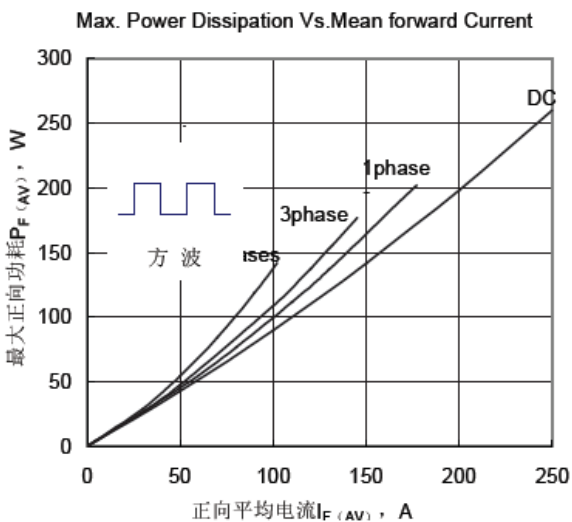


Fig.5 最大功耗与平均电流关系曲线

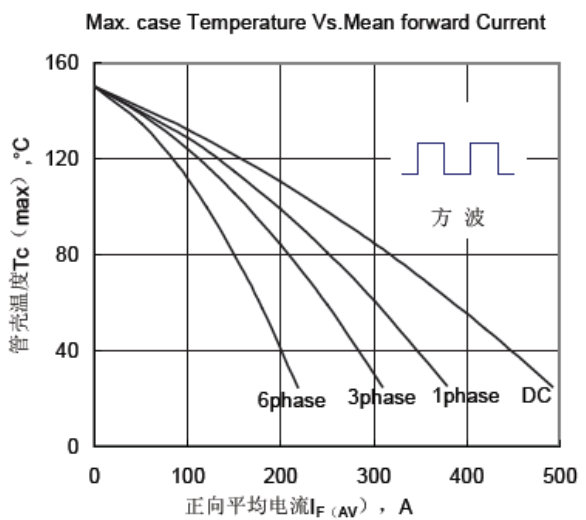


Fig.6 管壳温度与正向平均电流关系曲线

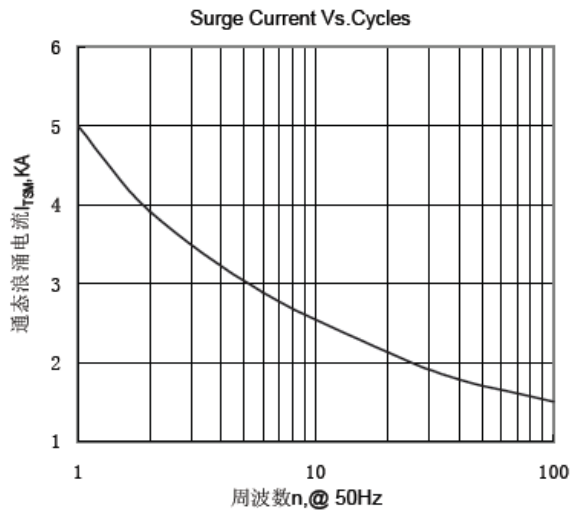


Fig.7 通态浪涌电流与周波数的关系曲线

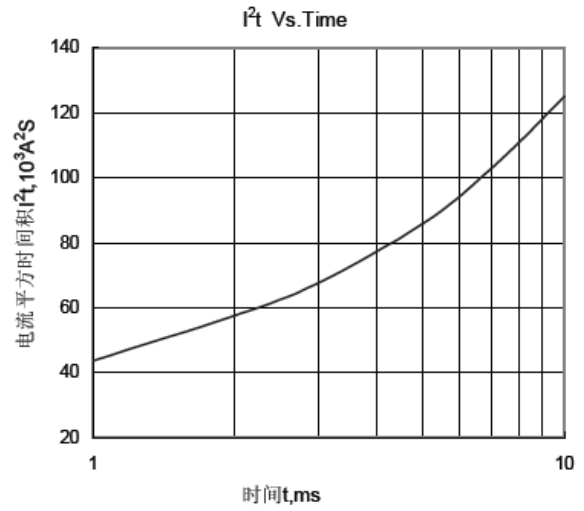


Fig.8  $I^2t$  特性曲线

外形图:

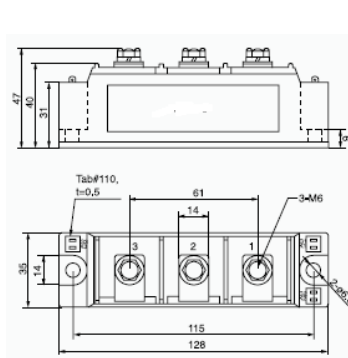


图 1

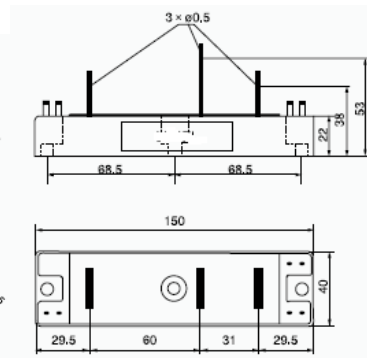


图 2

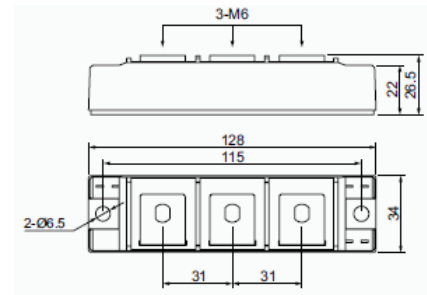


图 3

线路图:

